

鋼格子床版の死荷重応力に関する一考察

大阪大学工学部 正員 前田幸雄
大阪大学工学部 正員 松井繁之
大阪大学大学院 学生員 松岡和巳

1. まえがき

コンクリート充填鋼格子床版は一般に、型枠鋼板つき鋼骨組だけを工場で製作し、トラッククレーン等で現場架設したのちコンクリートを打設する準プレハブ型式の床版である。本報告はこの鋼骨組に関して若干の考察を行ったものである。その1つは、型枠を主目的で取りつけた型枠薄鋼板(1mm厚)の曲げ剛性への寄与である。従来、これは考慮されないが、I型鋼の開隔が大きい場合には考慮して経済性の向上を計るべきであろう。(ただし、荷重に対しては鋼板の風化を考えて無視するのが合理的であろう) もとの問題点は架設時荷重に対する安全性評価のための鋼骨組の破剛性評価である。これは、例えば、コンクリートミキサー車が載った場合、その輪荷重分配をどのように計算かを考えるときに必要となる。以上の問題に關して鋼骨組の載荷実験を行い考察した。

2. 小形I型鋼の特性

鋼格子床版のI型鋼には配力鉄筋を配置するためウエブにパンチ穴を設ける。この結果、I型鋼のタワミ、ひずみには開孔部の2次曲げの影響がある。そこで骨組試験結果を正しく評価するため、2次曲げの影響を調べておく必要があり、鋼骨組実験に先立ち、図-2に示す3種のI型鋼の曲げ実験を行った。ただし、2次曲げ評価はタワミによる巨視的評価に止めた。すなはち、全タワミと弹性厚りおしえみ曲げによるものとセン断によるものに分け、2次曲げ効果をセン断タワミに包括させ、セン断係数 α (式-1)で表した。

$$\delta = \delta_B + \delta_S = \frac{P\delta^2(l-\xi)^2}{6EI\ell} \left\{ 2 \frac{x}{\xi} + \frac{x}{l-\xi} - \frac{x^3}{\xi^2(l-x)} \right\} + \frac{\alpha P(l-\xi)x}{EGLA} \quad (1)$$

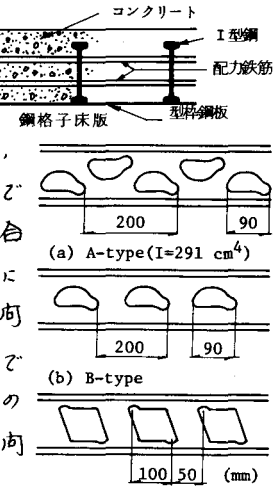


図-2 主部材I型鋼の種類

得られた結果は、Aが4.44、Bが4.09、Cが11.93であり、開孔の影響は大きい。

3. 鋼骨組実験

鋼骨組は図-3に示す2種があり、各載

荷荷重下におけるタワミ・ひずみ量から型枠鋼板の剛性に寄与する有効中が、タワミ分布・ひずみ分布から破剛性の評価

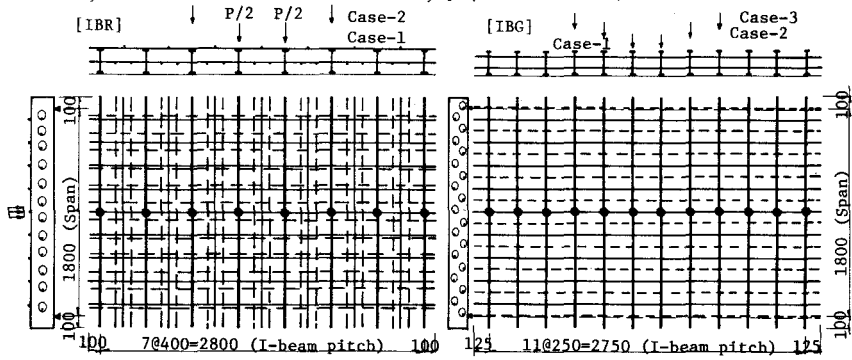


図-3 骨組供試体の概要(・印はタワミ、ひずみの測定位置)

が可能となる。供試体 IBG は主部材間隔が 25 cm の通常の型式である。供試体 IBR は主部材間隔を 40 cm にし、その間に鉄筋を組み入れた新しいタイプである。各々 1 体づつで、載荷方法を 2~3 種に変化させてバラツキを評価した。(注: スパン 1.8 m, 2 辺単純支承・2 辺自由の版)

4. 実験結果と考察

① 結果の概要

図-4 の分布図では測定項目のタワミ、[IBG] と [IBR] の分布状況を模式的に示す。IBG では荷重が載つてから I 型鋼を含む 5 本に、IBR では 3 本にしか荷重は分配されない。図-4 の分布図では分布形状は左右対称になるところが実験ではバラツキがあった。

② 荷重分配率と型枠鋼板の主部材剛性への寄与

荷重は載荷した主部材 A と、隣りの B、さらについで C に均等に分配されると考えて実験結果が 3 荷重分配率を評価すると言ったのようになつた。IBG では 5 本で、IBR では 3 本の主部材に分配される。次に、これら 3 の分配率の和として実測タワミ・ひずみが 3 型枠鋼板の有効中を計算すると表-1 のようになつた。タワミ結果で、開孔部のせん断変形を考慮すると表が明らかによろしくに全中有効と言える。ひずみ結果からは若干の低下が認められる。表-2 型枠鋼板の有効幅

レカレ、実際の生コンクリートの死荷重は一旦、型枠鋼板で受けられ、次に I 型鋼に伝達される。よって、型枠鋼にはプレストレスが入った状態になり、本実験の場合より有効中は上るところと予想される。以上から、型枠鋼板は全中有効と考えてよいかどうか。今、型枠鋼板を全中有効と考えたとき、あるいは、全く無視したときの死荷重による各々の主部材応力は図-5 のようになる。図より、IBR では鋼板の寄与を考えないと不経済にならうことなどが認められる。

③ 板剛性……主部材方向の板剛性 D_x は上記の結果から型枠鋼板の全中有効とした主部材断面から決定できる。問題となるのは配力鉄筋方向の板剛性 D_y であり、これは実測のタワミ・ひずみの分布と合致する理論分布曲線を見出すことによって求められる。この理論値はねじり剛性のない直交異方性板式から求まる。実際には $D_y/D_x = 1.0 \sim 0.001$ まで変化させた理論値を用意した。結果の一例は図-6 に示した通りであり、このタワミ結果から、IBR では $D_y = 0.005 D_x$ 、IBG では $0.005 D_x$ 以下と推定できる。ひずみ結果と合わせて最終的に IBR では $D_y = 0.005 D_x$ 、IBG では $D_y = 0.002 D_x$ と判断した。上記の比率で示すように配力鉄筋方向の板剛性は非常に小さいものである。さて、鋼格子骨組の架設荷重に対する安全性の照査は上記板剛性を用い、板理論あるいは格子理論で行えばよい。荷重が集中的に載る可能性がある場合には荷重分配用の板あらわしは梁を併用して安全を計ればよいかであろう。

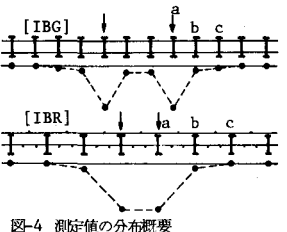


図-4 測定値の分布概要

表-1 荷重分配率

	I-beams	a	b	c
IBG	Deflection	0.698	0.128	0.025
	Upp. Flg.	0.817	0.091	0.0
	Low. Flg.	0.597	0.155	0.046
	Mean	0.708	0.123	0.023
IBR	Deflection	0.700	0.126	0.024
	Upp. Flg.	0.823	0.088	0.0
	Low. Flg.	0.838	0.081	0.0
	Mean	0.762	0.119	0.0
IBR	Deflection	0.800	0.100	0.0
	Upp. Flg.	0.812	0.094	0.0
	Low. Flg.			
	Mean			

表-2 型枠鋼板の有効幅

	[IBG]	[IBR]
Def. ($\delta - \delta_0$)	25 cm	40 cm
Def. (δ)	9.5~15 cm	17~20 cm
Strain	17~25 cm	31~40 cm

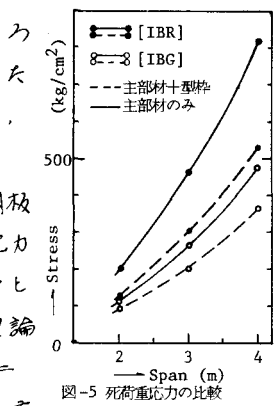


図-5 死荷重重心力の比較

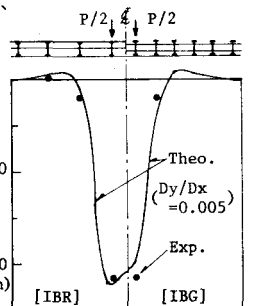


図-6 タワミの比較